



Computational Intelligence in Electrical Engineering
Vol. 14, No. 3, 2023
Research Paper

Constant Power Generation in Cascaded H-Bridge Inverter-based Photovoltaic Systems Based on Flexible Power Point Tracking

Mina Haghghat¹, Mehdi Niroomand^{1*}, Hossein Dehghani Tafti²

¹Department of Electrical Engineering, University of Isfahan, Isfahan, Iran

²Department of Electrical, Electronic and Computer Engineering, University of Western Australia, Crawley WA 6009, Australia.

Abstract:

Traditionally, photovoltaic power plants use Maximum Power Point Tracking (MPPT) algorithms to produce maximum electrical energy. However, with the increase of grid-installed photovoltaic power plants, power system operators have faced new challenges such as overload, overvoltage, and proper performance during grid voltage disturbances. As a result, network standards and codes have been updated in the direction of photovoltaic systems that are more controllable and compatible with the network. To provide various grid support functions, such as frequency response and voltage support, the Constant Power Generation (CPG) control algorithm is established by grid codes. For this purpose, MPPT algorithms have been replaced by flexible power point tracking (FPPT) algorithms. This paper proposes an algorithm to control photovoltaic systems based on a multi-level cascaded full-bridge (CHB) inverter to achieve constant power generation control by the FPPT method. The required power reference is distributed among the sub-modules of the CHB converter according to the available power of each sub-module in such a way that, as much as possible, each sub-module is loaded equally. Then, the FPPT algorithm with an adaptive voltage step is used to set the power of each sub-module in its reference value. The voltage step is calculated adaptively based on the observed condition (transient or steady state) so that the tracking performance has fast dynamics. The effectiveness of the proposed algorithm is evaluated by simulating a 500-kW photovoltaic system directly connected to a 4.7 kV grid.

Keywords: Photovoltaic systems, active power control, flexible power point tracking (FPPT), Constant power generation (CPG), H-bridge converter.



This is an open access article under the CC BY-NC-ND/4.0/ License (<https://creativecommons.org/licenses/by-nc-nd/4.0/>).



<https://doi.org/10.22108/ISEE.2023.136164.1605>

تولید توان ثابت در سیستم‌های فتوولتائیک مبتنی بر اینورتر تمام پل آبشاری براساس

ردیابی نقطه توان انعطاف پذیر

مینا حقیقت^۱، مهدی نیرومند^{۲*}، حسین دهقانی تفتی^۳

۱- دانشجوی دکتری، دانشکده فنی و مهندسی، دانشگاه اصفهان، اصفهان، ایران

m_haghighat@eng.ui.ac.ir

۲- دانشیار گروه برق، دانشکده فنی و مهندسی، دانشگاه اصفهان، اصفهان، ایران

mehdi_niroomand@eng.ui.ac.ir

۳- استادیار دانشگاه وسترن، استرالیا

hossein002@e.ntu.edu.sg

چکیده: نیروگاه‌های فتوولتائیک به صورت سنتی برای تولید حداکثر انرژی الکتریکی از الگوریتم‌های ردیابی نقطه بیشینه توان (MPPT) استفاده می‌کنند؛ با این حال، با افزایش نیروگاه‌های فتوولتائیک نصب شده به شبکه، اپراتورهای سیستم قدرت با چالش‌های جدیدی مانند اضافه بار، اضافه ولتاژ و عملکرد در هنگام اختلال ولتاژ شبکه مواجه شده‌اند؛ در نتیجه، استانداردها و کدهای شبکه در جهت سیستم‌های فتوولتائیک کنترل پذیرتر و سازگارتر با شبکه به روزرسانی شده‌اند. برای ارائه عملکردهای مختلف پشتیبانی از شبکه، مانند پاسخ فرکانسی و پشتیبانی ولتاژ، الگوریتم کنترل تولید توان ثابت (CPG) توسط کدهای شبکه وضع شده است. به همین منظور، الگوریتم‌های MPPT با الگوریتم‌های ردیابی نقطه توان انعطاف پذیر (FPPT) جایگزین شده‌اند. این مقاله یک الگوریتم برای کنترل سیستم‌های فتوولتائیک مبتنی بر اینورتر تمام پل آبشاری (CHB) چندسطحی برای دستیابی به کنترل تولید توان ثابت با روش FPPT پیشنهاد می‌کند. مرجع توان مورد نیاز بین زیرماژول‌های مبدل CHB با توجه به توان موجود هر زیرماژول به گونه‌ای توزیع می‌شود که تا حد امکان هر زیرماژول به یک اندازه بارگذاری شود. سپس برای تنظیم توان هر زیرماژول در مقدار مرجع آن از الگوریتم FPPT با گام ولتاژ تطبیقی استفاده می‌شود. گام ولتاژ براساس شرایط مشاهده شده (حالت گذرا یا پایدار) به صورت تطبیقی محاسبه می‌شود تا عملکرد ردیابی دارای دینامیک سریع باشد. اثربخشی الگوریتم ارائه شده با شبیه‌سازی یک سیستم فتوولتائیک ۵۰۰ کیلووات که مستقیماً به یک شبکه ۴٫۷ کیلوولت متصل است، ارزیابی شده است.

واژه‌های کلیدی: سیستم‌های فتوولتائیک، کنترل توان اکتیو، دنبال کردن نقطه توان انعطاف پذیر (FPPT)، تولید توان ثابت

(CPG)، مبدل تمام پل آبشاری

۱- مقدمه

زیست محیطی ناشی از آلودگی‌های زیست محیطی و گرمایش زمین، همراه با تقاضای بالای مصرف انرژی برای صنعتی سازی و تولید، صنعت برق در سال‌های اخیر بیش از پیش بر تکامل منابع انرژی تجدیدپذیر متمرکز شده است. با توجه به مزایای متمایز تولید سیستم‌های PV^۱، مانند کاهش هزینه پنل‌های PV، هزینه پایین تعمیر و نگهداری و نصب آسان برای هر ظرفیت دلخواه، سیستم‌های PV به سرعت در حال توسعه‌اند [۱]. طبق گزارشات در سال ۲۰۲۰ ظرفیت PV نصب شده جهانی بیش از ۷۵۰ گیگاوات است [۲].

با کمبود سوخت‌های فسیلی، افزایش نگرانی‌های

تاریخ ارسال مقاله: ۱۴۰۱/۱۰/۰۴

تاریخ پذیرش مقاله: ۱۴۰۲/۰۱/۲۱

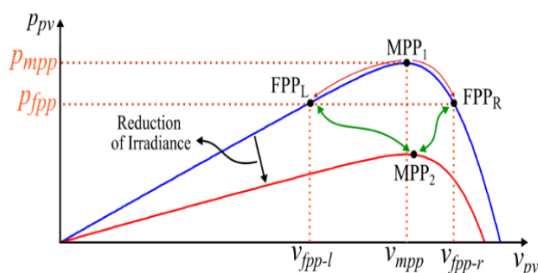
نام نویسنده مسئول: مهدی نیرومند

نشانی نویسنده مسئول: ایران، اصفهان، دانشگاه اصفهان، دانشکده فنی و مهندسی

مثال، باتری‌ها) برای تنظیم توان خروجی سیستم‌های PV کنترل (شارژ / تخلیه) می‌شوند؛ با این حال، یکی از نگرانی‌های عمده این روش، هزینه اولیه معرفی شده توسط سیستم‌های ذخیره انرژی است. علاوه بر این، طول عمر محدودتر باتری‌ها موجب افزایش هزینه تعمیر و نگهداری سیستم کلی می‌شود [۹-۱۰].

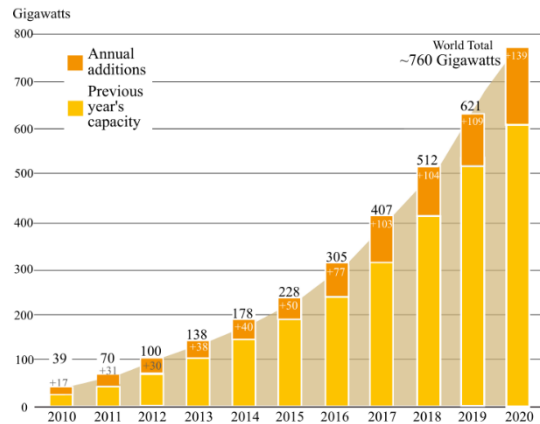
کنترل توان اکتیو انعطاف‌پذیر را می‌توان مستقیماً در سیستم‌های PV با جایگزینی الگوریتم‌های MPPT^۳ با الگوریتم‌های ردیابی نقطه توان انعطاف‌پذیر (FPPT^۴) به دست آورد [۱۱]. با توجه به شکل ۲، الگوریتم‌های FPPT توان خروجی PV (p_{pv}) را در مقدار مرجع (p_{fpp}) مورد نیاز کدهای شبکه تنظیم می‌کنند. چندین الگوریتم FPPT با پاسخ دینامیکی سریع و نوسانات توان کم در حالت پایدار در [۱۲-۱۴] معرفی شده است.

اگرچه تاکنون الگوریتم‌های پیشرفته FPPT در تحقیقات قبلی معرفی شده است، پیاده‌سازی آنها بر سیستم‌های PV مبتنی بر مبدل چندسطحی^۵ که راه‌حل مناسبی برای نیروگاه‌های PV در مقیاس متوسط و بزرگ‌اند، دارای چالش‌های متعدد است و ممکن است اجرای کنترل توان رضایت بخش نباشد. در واقع روش‌های پیشین FPPT تنها برای یک اینورتر PV مناسب‌اند. هنگامی که زیرماژول‌های^۶ متعدد در سیستم درگیرند، اگر توان محدود شده به‌درستی توزیع نشود، زیرماژول‌ها می‌توانند به‌طور نابرابر بارگذاری شوند؛ در نتیجه، سیستم ممکن است فراتر از ناحیه مجاز خود کار کند (بعضی از زیرماژول‌ها بیش از حد مدوله شوند) [۱۵-۱۶].



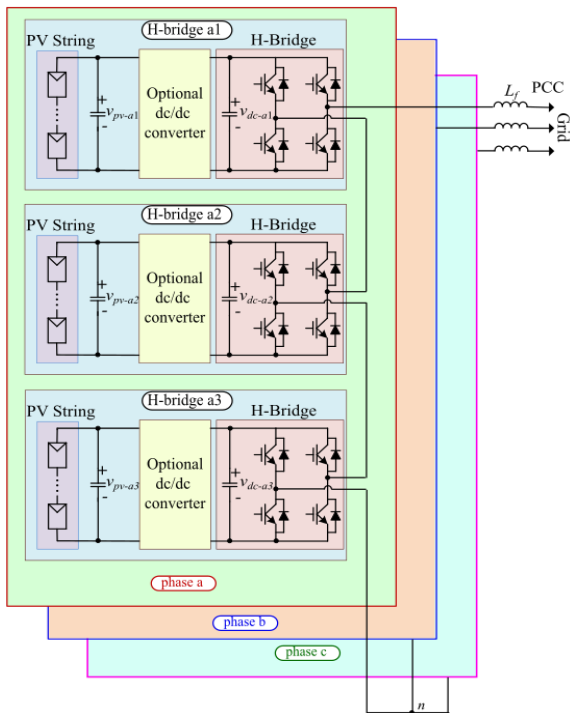
شکل (۲): نقاط توان انعطاف‌پذیر (FPP) سیستم‌های PV با کنترل ردیابی نقطه توان انعطاف‌پذیر (FPPT) [۱۸].

ظرفیت تولید برق جهانی به روش فتوولتائیک و افزایش سالیانه آن در شکل ۱ نشان داده شده است.



شکل (۱): ظرفیت تولید برق جهانی PV و افزایش سالیانه آن [۲].

با افزایش نصب نیروگاه‌های فتوولتائیک، شبکه با چالش‌های مختلفی مواجه می‌شود؛ برای مثال، اگر مقدار توان تولید شده از آرایه‌های فتوولتائیک از تقاضای بار در طول دوره‌های اوج تولید برق (به‌طور مثال، در اواسط روز) بیشتر شود، سیستم قدرت ممکن است بیش از حد بارگذاری شود و در نتیجه، دستگاه‌های حفاظتی فعال شوند [۳-۵]. برای اطمینان از پایداری و کیفیت توان سیستم، اپراتورهای سیستم الزامات جدیدی را برای اتصال سیستم‌های PV به شبکه وضع می‌کنند [۶] که کدها و استانداردهای شبکه نامیده می‌شوند. هدف از این الزامات جدید، کاهش اثرات نامطلوب نفوذ بالای سیستم‌های PV نصب شده بر شبکه است. به‌طور مثال، طبق کد شبکه برق کشور دانمارک، یک نیروگاه فتوولتائیک متصل به شبکه با توان خروجی بالاتر از ۱۱ کیلوولت آمپر باید بتواند در صورت نیاز، توان خروجی را به مقدار ثابت معینی محدود کند که کنترل تولید توان ثابت CPG^۲ نامیده می‌شود [۷]. با محدود کردن توان خروجی سیستم فتوولتائیک، توان اضافی موجود برای ارائه عملکردهای جانبی مانند پشتیبانی ولتاژ و پاسخ فرکانسی استفاده می‌شود [۸]. با توجه به خواسته‌های فوق، راه‌حلی برای تحقق این الزامات بررسی شده است. یکی از راه‌حل‌های اولیه، استفاده از ذخیره‌کننده‌های انرژی است. در این روش، دستگاه‌های ذخیره انرژی (به‌طور



شکل (۳): ساختار سیستم PV متصل به شبکه با مبدل CHB هفت سطحی.

در ادامه، مقاله به صورت زیر تقسیم بندی شده است: در بخش ۲ الگوریتم کنترل پیشنهادی شامل کنترل پیشنهادی برای اینورتر و مبدل DC-DC توضیح داده شده است. نتایج شبیه سازی در بخش ۳ ارائه شده اند. همچنین، نتایج کار ارائه شده در بخش ۴ خلاصه شده اند.

۲- الگوریتم کنترل پیشنهادی

الگوریتم کنترل پیشنهادی برای سیستم PV مبتنی بر CHB به دو بخش تقسیم می شود. در زیربخش اول کنترل پیشنهادی برای اینورتر CHB توضیح داده شده است. زیربخش دوم کنترل پیشنهادی برای مبدل DC-DC ارائه می شود که شامل الگوریتم توزیع توان بین زیرماژول ها و الگوریتم FPPT ارائه شده برای کنترل مبدل DC-DC هر زیرماژول است. با کنترل هماهنگ تمام زیرماژول ها مراجع توان توسط الگوریتم توزیع توان به زیرماژول ها ارسال می شود و هر زیرماژول مرجع توان ارسالی را دنبال خواهد کرد. فرض بر این است که ساختار سیستم مشابه شکل ۳ باشد. همچنین، فرض بر این است که سیستم N سطحی

مبدل تمام پل آبخاری^۷ (CHB) چندسطحی در شکل ۳، یک انتخاب مناسب برای سیستم های PV در مقیاس متوسط و بزرگ معرفی شده است؛ زیرا (۱) تلفات قطعات نیمه هادی به دلیل فرکانس کم سوئیچینگ پایین است و (۲) اتصال مستقیم به شبکه های ولتاژ متوسط نیاز به ترانسفورماتورهای فرکانس خط حجیم و گران قیمت را از بین می برد.

در تحقیقات گذشته تعادل بین فازی و بین ولتاژهای خازن پل در این مبدل مطالعه شده است [۱۷]. با توجه به اینکه تاکنون کنترل CPG به صورت گسترده بر سیستم های PV مبتنی بر اینورتر CHB اجرا نشده است، در این مقاله یک الگوریتم جدید برای دستیابی به کنترل CPG در سیستم های PV مبتنی بر CHB ارائه شده است. الگوریتم CPG ارائه شده از گام ولتاژ تطبیقی استفاده می کند. گام ولتاژ تطبیقی برای مکان نقطه عملکردی و شرایط مشاهده شده (حالت پایدار یا گذرا) اعمال می شود؛ بنابراین، منجر به دینامیک سریع در زمان ردیابی مرجع توان و نوسانات توان پایین در حالت پایدار خواهد شد. الگوریتم کنترل روی مبدل DC-DC اجرا می شود تا کنترل CPG برای این نوع سیستم فراهم شود. توان محدود شده بین زیرماژول ها به گونه ای توزیع می شود تا بارگذاری بین زیرماژول ها متعادل باشد و با کنترل هماهنگ همه زیرماژول ها ذخیره کل توان حفظ خواهد شد. با توجه به اینکه توزیع توان بین زیرماژول ها تا حد امکان به طور یکسان انجام می شود، از مدولاسیون بیش از حد زیرماژول ها و عدم تعادل لینک DC جلوگیری می شود. با استفاده از شبیه سازی Simulink/MATLAB اثربخشی الگوریتم پیشنهادی بر یک اینورتر CHB تکفاز با ۵ عدد زیرماژول متصل به شبکه ۴,۷ کیلوولت، ارزیابی می شود.

تولید توان ثابت در سیستم‌های فتوولتائیک مبتنی بر اینورتر تمام‌پل آبشاری براساس ردیابی نقطه توان انعطاف‌پذیر

جریان اضافه می‌شوند تا ولتاژ خروجی مبدل تولید شود. در نهایت، یک کنترل برای برقراری تعادل انرژی بین سه فاز و همچنین، بین زیرماژول‌های یک فاز اجرا می‌شود. کنترل‌کننده اینورتر CHB برای حفظ میانگین انرژی خازن \bar{E}_{dc} با کنترل توان اکتیو تزریق‌شده به شبکه استفاده می‌شود. \bar{E}_{dc} به صورت زیر محاسبه می‌شود:

$$\bar{E}_{dc} = \frac{\sum_{x=a}^{x=c} \sum_{j=1}^N e_{dc-xj}}{N \times 3} \quad (1)$$

$$x \in \{a, b, c\}$$

در رابطه (۱) شماره زیرماژول هر فاز با i مشخص شده است. همچنین، انرژی خازن زیرماژول xi است که مطابق زیر محاسبه می‌شود:

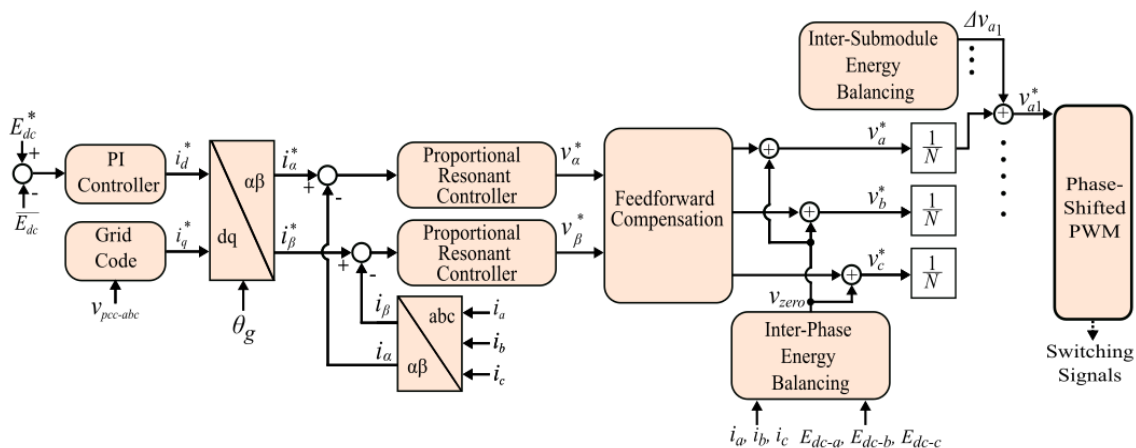
$$e_{dc-xi} = \frac{1}{2} \times C_{dc} \times v_{dc-xi}^2 \quad (2)$$

که ولتاژ خازن زیرماژول است که در شکل ۳ نیز نشان داده شده است. در رابطه (۲) مقدار خازن هر زیرماژول با C_{dc} نشان داده شده است.

باشد. سیستم مدنظر به شبکه توزیع متصل خواهد شد و شبکه با یک منبع ولتاژ و امپدانس سری معادل می‌شود. جزئیات کنترل پیشنهادی در ادامه ارائه می‌شود:

۲-۱- کنترل پیشنهادی برای اینورتر CHB

یک نمای کلی از ساختار کنترل اینورتر CHB معرفی شده با N سطح در قاب $\alpha\beta$ در شکل ۴ ارائه شده است. برای اینورتر CHB طرح کنترلی مطابق شکل ۴ پیاده سازی شده است. ولتاژهای شبکه $v_{pcc-abc}$ برای تعیین مرجع جریان راکتیو مورد نیاز i_q^* با توجه به کدهای شبکه استفاده می‌شوند؛ در حالی که کل انرژی ذخیره‌شده در خازن‌های لینک DC به یک کنترل‌کننده PI وارد می‌شود تا مرجع جریان اکتیو i_d^* محاسبه شود. مراجع جریان قاب dq محاسبه و سپس به قاب $\alpha\beta$ منتقل می‌شوند. کنترل‌کننده جریان که در قاب $\alpha\beta$ پیاده‌سازی می‌شود، مراجع ولتاژ را براساس خطای بین مراجع جریان $(i_\alpha^*$ و $i_\beta^*)$ و جریان‌های شبکه لحظه‌ای $(i_\beta$ و $i_\alpha)$ محاسبه می‌کند. ولتاژهای فیلترشده پیشخور^۴ از شبکه به مرجع ولتاژ محاسبه‌شده از کنترل‌کننده



شکل (۴): طرح کنترل اینورتر CHB معرفی شده

تشدید متناسب (PR) وارد می‌شوند. مراجع ولتاژ v_α^* و v_β^* محاسبه‌شده به بلوک جبران پیشخور داده می‌شوند که به ولتاژهای شبکه لحظه‌ای تبدیل شده به مختصات $\alpha\beta$ اضافه می‌شود. این ویژگی پاسخ گذرا سیستم را با نوسانات ولتاژ شبکه افزایش می‌دهد. در نهایت، بلوک «تعادل انرژی بین

مطابق شکل ۴ خطای بین میانگین انرژی تمام ماژول‌ها \bar{E}_{dc} و مرجع انرژی ماژول E_{dc}^* به کنترل‌کننده PI داده می‌شود تا مرجع جریان i_d^* را محاسبه کند. خطاهای بین مراجع جریان محاسبه‌شده و جریان‌های فاز لحظه‌ای که به مختصات $\alpha\beta$ $(i_\beta$ و $i_\alpha)$ تبدیل شده‌اند، به کنترل‌کننده‌های

مودلاسیون بیش از حد زیرماژول مربوطه خواهد شد؛ بنابراین، کیفیت ولتاژ خروجی را تحت تأثیر قرار می‌دهد. در واقع، بلوک «تبادل انرژی بین فازها» باعث می‌شود توان یکسانی از هر زیر ماژول، کشیده و تبادل بین زیرماژول‌ها حفظ شود.

۲-۲- الگوریتم کنترل پیشنهادی برای مبدل‌های DC-DC

یک نمای کلی از کنترل‌کننده پیشنهادی برای هر مبدل DC-DC سیستم PV مبتنی بر CHB در شکل ۵ ارائه شده است. بلوک پشتیبانی فرکانس شبکه، مرجع توان مورد نیاز سیستم P_{pv-ref} را براساس فرکانس شبکه و نیاز شبکه محاسبه می‌کند. سپس مرجع توان مورد نیاز برای کل سیستم PV به تناسب بین زیرماژول‌ها تقسیم می‌شود.

الگوریتم توزیع توان بین زیرماژول‌ها، مقدار توان مرجع هر زیرماژول را با توجه به توان پل‌ها و مقدار رزرو مورد نیاز (ΔP) تنظیم می‌کند. روند اجرای الگوریتم به این صورت است که ابتدا مجموع توان زیرماژول‌ها محاسبه می‌شود و با توجه به مرجع توان مورد نیاز سیستم P_{pv-ref} مقدار رزرو مورد نیاز (ΔP) مطابق زیر محاسبه می‌شود:

$$\Delta P = \sum_{i=1}^N P_{pv-i} - P_{pv-ref} \quad (3)$$

که N تعداد زیرماژول‌ها و P_{pv-i} توان پل زیرماژول i ام است. سپس یک مرجع توان برای محدودکردن توان هر زیرماژول محاسبه می‌شود. مرجع توان برای هر زیرماژول به گونه‌ای محاسبه می‌شود که توان پل PV با مقدار بیشینه انتخاب می‌شود. سپس مقدار $\frac{1}{N}$ رزرو مورد نیاز از آن کسر خواهد شد که مطابق رابطه زیر است:

فازها» و «تبادل انرژی بین زیرماژول‌ها» برای حفظ تعادل انرژی بین سه فاز و بین زیرماژول‌های هر فاز استفاده می‌شود.

همان‌طور که از ساختار مبدل CHB (شکل ۳) مشاهده می‌شود، این ساختار دارای لینک‌های DC مجزا است. مشکل ناشی از عملکرد مستقل چندین لینک DC این است که توان تولیدشده با پل‌های PV متصل به هر پل می‌تواند نابرابر باشد. این عدم تعادل توان می‌تواند حتی ناشی از تابش غیریکنواخت خورشیدی، دمای نابرابر محیط یا تخریب پل‌ها باشد؛ با این حال، بیشتر کدهای شبکه، جریان‌های متعادل سه فاز را الزامی می‌کنند [۱۸]؛ بنابراین، روش‌های کنترل اصلاح‌شده برای ارائه جریان‌های سه فاز متعادل به شبکه مورد نیاز است؛ در غیر این صورت، ممکن است مبدل از شبکه جدا شود. ماهیت مشکل عدم تعادل توان در تحویل جریان‌های متعادل سه فاز به شبکه با تولید توان PV نامتعادل در هر پل نهفته است. مشکل، بیشتر به دو دسته طبقه‌بندی می‌شود: ۱) عدم تعادل توان بین‌فازی (خوشه‌ای)، که زمانی رخ می‌دهد که هر فاز مقدار متفاوتی توان تولید می‌کند و ۲) عدم تعادل توان بین پل، که زمانی اتفاق می‌افتد که هر پل در همان پایه فاز، مقدار متفاوتی توان تولید می‌کند. تاکنون الگوریتم‌های زیادی برای حل عدم تعادل بین‌فازی و بین‌پل مبدل CHB ارائه شده‌اند. در این مقاله از روش ارائه‌شده در [۱۵] برای حفظ تعادل بین‌فازی و بین‌پل استفاده شده است. جزئیات این بلوک‌های کنترلی در [۱۵] ارائه شده است.

با توجه به شکل ۴، بدون اجرای الگوریتم تعادل بین‌فاز و بین‌پل، برای اجرای مودلاسیون شیف‌ت فاز اینورتر، یک مرجع ولتاژ ثابت v_a^*/N به هر زیرماژول فرستاده می‌شود. برای تولید ولتاژ کنترلی مودلاسیون شیف‌ت فاز، مرجع ولتاژ ارسالی به هر زیرماژول بر ولتاژ لینک DC زیرماژول مربوطه، تقسیم و در نهایت، با موج حامل دندان‌اره‌ای مقایسه می‌شود. چنانچه زیرماژولی توان کمتری تولید کند، ولتاژ لینک DC آن کاهش می‌یابد و دامنه ولتاژ کنترلی از دامنه موج حامل فراتر خواهد رفت و موجب

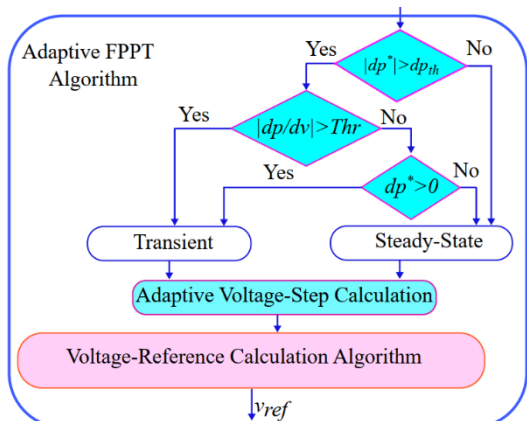
تولید توان ثابت در سیستم‌های فتوولتائیک مبتنی بر اینورتر تمام‌پل آبشاری براساس ردیابی نقطه توان انعطاف‌پذیر

سیستم P_{pv-ref} مقدار رزرو مورد نیاز مطابق رابطه زیر محاسبه می‌شود:

$$\Delta P = \sum_{i=1}^N P_{pv-ref-i} - P_{pv-ref} \quad (6)$$

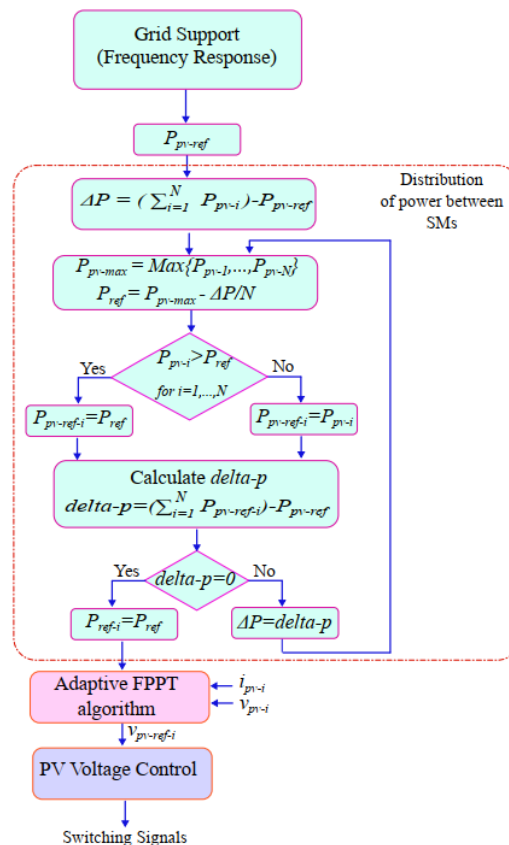
اگر مقدار رزرو محاسبه شده برابر صفر بود، به این معنا است که P_{pv-ref} توسط زیرماژول‌ها فراهم می‌شود؛ در غیر این صورت، روند توضیح داده شده تا زمانی ادامه می‌یابد که کل توان مورد نیاز سیستم فراهم شود. با اجرای این الگوریتم توزیع توان کل بین مبدل‌های PV طوری انجام می‌شود که بارگذاری بین زیرماژول‌ها تا حد امکان به‌طور یکسان انجام می‌شود و در نتیجه، از مدولاسیون بیش از حد زیرماژول‌ها و عدم تعادل بین آنها جلوگیری می‌شود.

در مرحله بعد از یک الگوریتم FPPT مبتنی بر ولتاژ تطبیقی برای محاسبه مرجع ولتاژ PV در هر زیرماژول اینورتر $v_{pv-ref-i}$ پیاده‌سازی می‌شود. ساختار الگوریتم FPPT برای کنترل مبدل DC-DC در شکل ۶ نشان داده شده است. این الگوریتم به دلیل استفاده از گام ولتاژ تطبیقی دارای دینامیک سریع و نوسانات توان پایین در هنگام تنظیم توان PV در مقدار مرجع آن خواهد بود. ذکر این نکته الزامی است که اگر مجموع توان در دسترس تمامی زیرماژول‌ها کمتر از مرجع توان مورد نیاز سیستم باشد، تمامی زیرماژول‌ها حداکثر توان موجود خود را تزریق خواهند کرد.



شکل (۶): الگوریتم FPPT برای کنترل مبدل DC-DC

انتخاب گام ولتاژ بین دو نقطه عملکردی متوالی در



شکل (۵): الگوریتم پیشنهادی برای کنترل مبدل DC-DC در زیرماژول

$$P_{pv-max} = \text{Max}\{P_{pv-1}, P_{pv-2}, \dots, P_{pv-N}\} \quad (4)$$

$$P_{ref} = P_{pv-max} - \Delta P/N \quad (5)$$

در رابطه (۴) مقدار بیشینه توان پنل PV در بین پنل‌های موجود است. $P_{pv-1}, P_{pv-2}, \dots, P_{pv-N}$ توان پنل‌های اول تا N ام است. همچنین، مقدار مرجعی است که برای توان هر زیرماژول در نظر گرفته می‌شود؛ بنابراین، N تا زیرماژول مراجع ارسالی از الگوریتم توزیع توان را اجرا خواهند کرد. اگر توان هر زیرماژول از مقدار P_{ref} بیشتر باشد، توان زیرماژول مربوطه به این سطح محدود خواهد شد. در غیر این صورت، زیرماژول مربوطه توان قبلی خود را دنبال خواهد کرد. در مرحله بعد مراجع توان محاسبه شده برای زیرماژول‌ها جمع خواهند شد. با توجه به مراجع توان محاسبه شده و مرجع توان مورد نیاز

PV موجود P_{mpp} کمتر از توان مرجع p_{ref-i} در طول مد CPG است.

در شرایط ذکرشده الگوریتم باید قادر باشد ولتاژ متناظر با نقطه توان حداکثر V_{mpp} را محاسبه کند و به منظور دستیابی به نوسانات توان کوچک باید تضمین کرد شرایط ذکرشده در قسمت حالت پایدار طبقه بندی شده‌اند. شیب منحنی توان - ولتاژ (P-V) پیل PV در MPP نزدیک صفر است؛ بنابراین، مقدار $\left| \frac{dp}{dv} \right|$ با یک مقدار آستانه Thr مقایسه می‌شود. اگر نقطه عملکردی نزدیک به MPP نباشد، در این صورت $\left| \frac{dp}{dv} \right|$ بزرگ‌تر از مقدار آستانه است و سیستم PV در مد گذرا است و بنابراین، از یک گام ولتاژ بزرگ برای دستیابی به دینامیک سریع استفاده می‌شود. توجه کنید اگر نقطه عملکردی نزدیک به MPP باشد، دو شرایط ممکن است رخ دهد: (۱) مرجع توان بزرگ‌تر از P_{mpp} باشد که این شرط باید در حالت پایدار قرار گیرد؛ در این حالت dp^* مثبت است. (۲) مرجع توان کوچک‌تر از P_{mpp} باشد؛ این حالت باید در مد گذرا دسته‌بندی شود. در این شرایط dp^* منفی است؛ بنابراین، از تعیین علامت dp^* برای تمایز بین دو شرط فوق استفاده می‌شود.

در نهایت یک کنترل‌کننده ولتاژ معمولی برای تنظیم ولتاژ PV در هر زیرماژول به مقدار مرجع آن و تولید سیگنال‌های کلیدزنی اجرا می‌شود.

۳- ارائه نتایج

اثر بخشی الگوریتم کنترل پیشنهادی برای اجرای پشتیبانی فرکانس و کنترل CPG در سیستم‌های PV مبتنی بر CHB با شبیه‌سازی بر یک سیستم PV ۵۰۰ کیلووات متصل مستقیماً به یک شبکه ۴٫۷ کیلوولت، ارزیابی می‌شود. نتایج این کار در شکل ۷، ۸ و ۹ نشان داده شده‌اند. نتایج سیستم مورد مطالعه برای سه حالت افزایش و کاهش ناگهانی مرجع توان سیستم و همچنین تغییرات ناگهانی تابش ارائه شده‌اند. پارامترهای دقیق سیستم در جدول ۱ ارائه شده‌اند.

دینامیک و نوسانات توان در هنگام تنظیم توان هر زیرماژول در مقدار مرجع آن بسیار مهم است. اگر گام ولتاژ بین دو نقطه عملکردی متوالی مقدار بزرگی باشد، پاسخ دینامیکی پرسرعتی در طول گذار (تغییرات تابش) خواهیم داشت و عملکرد ردیابی به خوبی انجام می‌شود؛ اما نوسانات توان بزرگی در حالت پایدار (تابش ثابت) به وجود خواهد آمد. اگر گام ولتاژ مقدار کوچکی باشد، نوسانات توان پایین در حالت پایدار به دست می‌آید و تلفات توان کمینه خواهد شد؛ اما منجر به پاسخ دینامیکی کند خواهد شد؛ بنابراین، گام ولتاژ باید متغیر باشد تا عملکرد هم در حالت گذار و هم در حالت پایدار بهبود یابد. در واقع، ولتاژ آرایه PV در مد عملکرد CPG در رنج وسیعی بسته به شرایط (حالت گذار یا پایدار) تغییر می‌کند؛ بنابراین، مقادیر گام ولتاژ نیز باید در حالت پایدار یا گذرا متفاوت باشد. پس شرایط عملکردی (حالت گذار یا پایدار) باید در ابتدا آشکار شود. در اینجا مقدار آستانه dp_{th} برای جداسازی دو شرایط عملکردی تعریف شده است.

$$\begin{aligned} |dp^*| \leq dp_{th} & \quad \text{steady - state} \\ |dp^*| > dp_{th} & \quad \text{transient} \end{aligned}$$

که در رابطه (۷) dp^* مطابق رابطه زیر تعریف شده است:

$$dp^* = p_{pv}(k) - p_{ref-i} \quad (8)$$

در حالت پایدار خطای dp^* نزدیک صفر است؛ در حالی که در طول گذار دارای مقدار نسبتاً بزرگی است که به علت تغییرات در تابش خورشید است. تعریف فوق می‌تواند به آسانی در کنترل‌کننده اجرا شود؛ اما اجرای این مقایسه ساده به تنهایی کافی نیست و ممکن است شرایط عملکردی اشتباه تشخیص داده شود. زمانی که سیستم در مد MPPT فعالیت می‌کند، ممکن است این انتخاب خطا انجام شود. تحت دو شرایط این انتخاب خطا رخ خواهد داد:

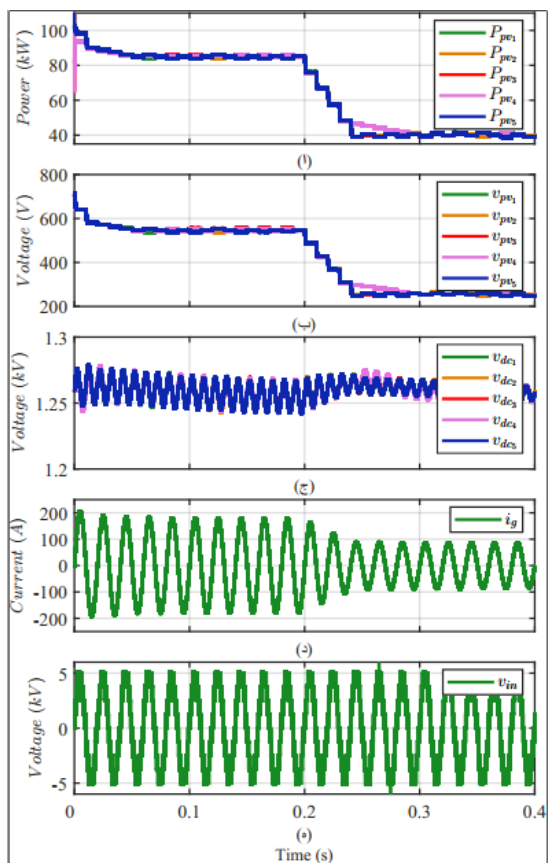
(۱) زمانی که توان مرجع مطابق p_{ref-i} در مقدار

بزرگتری از توان پیشینه نامی تنظیم شده باشد.

(۲) به علت سایه جزئی یا دلایل دیگر، پیشینه توان

تولید توان ثابت در سیستم‌های فتوولتائیک مبتنی بر اینورتر تمام‌پل آبشاری براساس ردیابی نقطه توان انعطاف‌پذیر

ولتاژ خروجی اینورتر CHB نیز در شکل ۷ (ه) نشان داده شده است که ولتاژ خروجی چند سطحی اینورتر را در هر دو شرایط کاری نشان می‌دهد.



شکل (۷): عملکرد الگوریتم کنترل پیشنهادی تحت افزایش ناگهانی فرکانس شبکه: (ا) توان PV زیرماژول‌های اول تا پنجم؛ (ب) ولتاژ PV زیرماژول‌های اول تا پنجم؛ (ج) ولتاژ لینک DC زیرماژول‌های اول تا پنجم و (د) جریان خروجی اینورتر و (ه) ولتاژ خروجی اینورتر.

حالت دوم: در زمان ۰/۲ ثانیه مرجع توان سیستم P_{pv-ref} به‌طور ناگهانی افزایش داده می‌شود. در این مورد، مقادیر توان خروجی رشته‌های PV از مقدار ۴۵ کیلووات به ۹۰ کیلووات برای پشتیبانی از شبکه افزایش می‌یابد. با توجه به شکل ۸ (ج) و ۸ (د)، ولتاژهای خازن لینک DC در تمامی شرایط عملیاتی متعادل‌اند و پس از تشخیص کاهش فرکانس در شبکه، جریان تزریقی به شبکه افزایش می‌یابد.

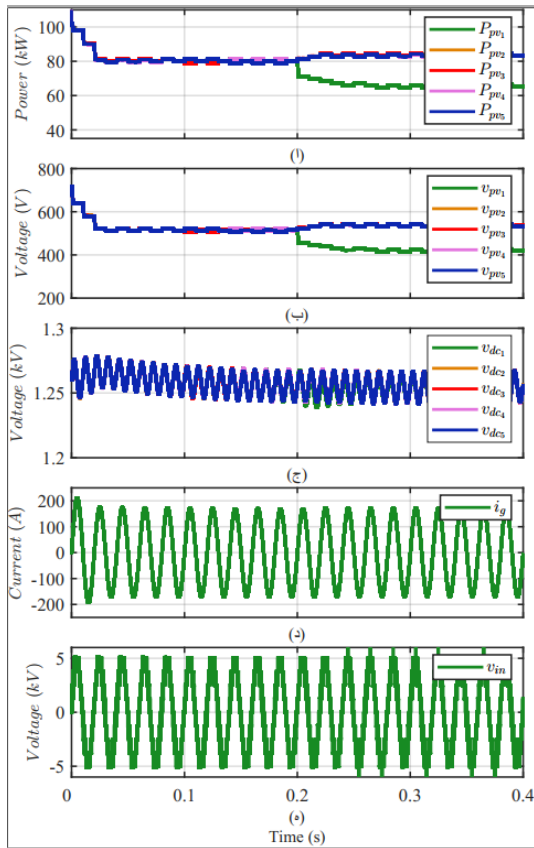
جدول (۱): پارامترهای سیستم مورد مطالعه

مقدار	پارامتر
۹۰، ۱۱۰، ۱۱۰، ۱۰۰، ۹۰ کیلووات	حداکثر توان پنل PV ساب ماژول‌ها P_{mpp}
۶۷۰، ۷۰۰، ۷۴۰، ۷۶۰ ولت	ولتاژ MPP پنل‌های PV
۱ mF	خازن پنل PV، C_{pv}
۵۰ kHz	فرکانس سوئیچینگ مبدل‌های DC-DC
۴٫۷ kV	ولتاژ شبکه
۵۰ Hz	فرکانس شبکه
۱٫۲۷ kV	ولتاژ لینک DC، v_{dc-i}
۳ mF	خازن لینک DC، C_{dc}
۹ mH	سلف فیلتر متصل به شبکه، L_f
۲ kHz	فرکانس حامل مبدل CHB
۵	تعداد زیرماژول‌ها

حالت اول: با توجه به شکل ۷، مرجع توان سیستم P_{pv-ref} به‌طور ناگهانی در زمان ۰/۲ ثانیه کاهش داده شده است. براساس شکل ۷، قبل از زمان ۰/۲ ثانیه هر مبدل DC-DC توان ۸۵ کیلووات را از رشته PV مربوطه استخراج می‌کند. در این حالت، با توجه به توان سیستم PV که ۵۰۰ کیلووات است، ذخیره توان ۷۵ کیلووات در سیستم حفظ می‌شود. همان‌طور که از توان PV پنج زیرماژول در شکل ۷ مشاهده می‌شود، همه زیرماژول‌ها مرجع یکسان ۸۵ کیلووات را دنبال می‌کنند که از طریق الگوریتم توزیع توان پیشنهادی فراهم شده است.

پس از تشخیص افزایش فرکانس شبکه در زمان ۰/۲ ثانیه، الگوریتم کنترل پیشنهادی با کاهش ولتاژ PV و جابه‌جا کردن نقطه عملیات در سمت چپ نقطه حداکثر توان (نقطه FPP_L در شکل ۲)، توان هر رشته PV را از ۸۵ کیلووات به ۴۰ کیلووات در کمتر از ۰/۰۵ ثانیه کاهش می‌دهد. مشاهده می‌شود تمام رشته‌های PV مرجع توان جدید را دنبال می‌کنند. علاوه بر این، ولتاژ لینک DC زیرماژول‌های مختلف تحت هر دو شرایط عملیاتی، با الگوریتم‌های تعادل انرژی بین زیرماژول‌های پیاده‌سازی شده، متعادل می‌شوند. جریان خروجی اینورتر در شکل ۷ (د)، پس از تشخیص افزایش فرکانس شبکه کاهش می‌یابد که کاهش توان تزریق‌شده به شبکه را تأیید می‌کند.

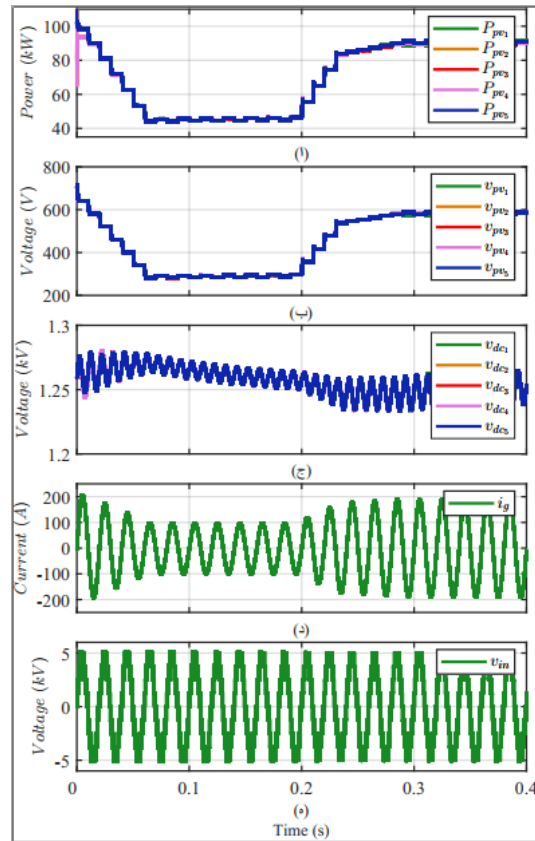
شرایط عملیاتی متعادل‌اند.



شکل (۹): عملکرد الگوریتم کنترل پیشنهادی تحت کاهش

ناگهانی تابش: (ا) توان PV زیرماژول‌های اول تا پنجم، (ب) ولتاژ PV زیرماژول‌های اول تا پنجم، (ج) ولتاژ لینک DC زیر ماژول‌های اول تا پنجم، (د) جریان خروجی اینورتر و (ه) ولتاژ خروجی اینورتر.

نتایج ارائه شده کارایی راه‌حل کنترل پیشنهادی را از نظر دینامیک سریع، نوسانات توان پایین در حالت پایدار و دقت بالا برای سیستم PV متصل به شبکه را تأیید می‌کند. همچنین، با توجه به نتایج ارائه شده مشاهده می‌شود توان مورد نیاز سیستم به‌طور یکسان بین زیرماژول‌ها توزیع می‌شود؛ بنابراین، تعادل سیستم حفظ خواهد شد. نتایج ارائه شده تأیید می‌کند سیستم PV با کنترل پیاده‌سازی شده با سرعت بسیار بالا در تنظیم فرکانس شرکت می‌کند.



شکل (۸): عملکرد الگوریتم کنترل پیشنهادی تحت کاهش

ناگهانی فرکانس شبکه: (ا) توان PV زیرماژول‌های اول تا پنجم، (ب) ولتاژ PV زیرماژول‌های اول تا پنجم، (ج) ولتاژ لینک DC زیرماژول‌های اول تا پنجم، (د) جریان خروجی اینورتر و (ه) ولتاژ خروجی اینورتر.

حالت سوم: در این حالت مطالعه، قبل از زمان ۰٫۲ ثانیه، مقدار ذخیره توان ۱۰۰ کیلووات برای سیستم در نظر گرفته شده است. مطابق شکل (۹) قبل از زمان ۰٫۲ ثانیه مقادیر توان خروجی رشته‌های PV مقدار ۸۰ کیلووات است و مقدار ذخیره ۱۰۰ کیلووات با توجه به توان سیستم (۵۰۰ کیلووات) فراهم شده است. در زمان ۰٫۲ ثانیه، تابش زیرماژول اول از 1000 W/m^2 به 600 W/m^2 به‌طور ناگهانی کاهش می‌یابد؛ بنابراین، توان موجود زیرماژول اول از ۱۱۰ کیلووات به ۶۶ کیلووات کاهش می‌یابد. با توجه به اینکه مقدار ذخیره ۱۰۰ کیلووات باید توسط سیستم فراهم شود؛ در نتیجه، مقادیر توان خروجی سایر زیرماژول‌ها از مقدار ۸۰ کیلووات به ۸۳٫۵ کیلووات افزایش می‌یابد. با توجه به شکل ۹ (ج)، ولتاژهای خازن لینک DC در تمامی

۴- نتیجه گیری

در این مقاله یک الگوریتم برای دستیابی به کنترل CPG براساس الگوریتم FPPT برای کنترل سیستم PV مبتنی بر CHB متصل به شبکه ارائه شده است. مرجع توان مورد نیاز برای سیستم بین زیرمآزول‌ها براساس حداکثر توان موجود و محدودیت اعمال‌شده توسط پاسخ فرکانسی توزیع می‌شود. با الگوریتم پیشنهادی، مرجع توان مورد نیاز برای سیستم بین زیرمآزول‌ها به گونه‌ای توزیع می‌شود تا بارگذاری بین همه مبدل‌های PV را متعادل کند و با کنترل هماهنگ همه مبدل‌ها ذخیره کل توان را حفظ کند و بنابراین، تعادل ولتاژ لینک DC حفظ شود. همچنین، استفاده از الگوریتم FPPT تطبیقی برای تنظیم توان در مقدار مرجع آن باعث دینامیک سریع خواهد شد. اثربخشی الگوریتم پیشنهادی با نتایج شبیه‌سازی تأیید شده است. نتایج شبیه‌سازی دینامیک سریع الگوریتم پیشنهادی و اعتبار آن را برای سیستم‌های PV در مقیاس متوسط و بزرگ نشان می‌دهند. براساس نتایج ارائه‌شده سیستم PV به سرعت و در کمتر از ۰/۰۵ ثانیه توان مرجع را دنبال می‌کند و در تنظیم فرکانس شرکت می‌کند. همچنین، نتایج ارائه‌شده گویای نوسانات توان پایین در حالت پایدارند.

مراجع

- [5] R. Shah, N. Mithulananthan, R. Bansal, and V. Ramachandaramurthy, "A review of key power system stability challenges for large-scale PV integration", *Renewable and Sustain. Energy Reviews*, Vol. 41, pp. 1423-1436, 2015.
- [6] IEEE recommended practice for interconnecting distributed resources with Electric Power Systems Distribution Secondary Networks, *IEEE Std 1547.6 (Revision IEEE Std 1547-2003)*, 2018.
- [7] Energinet.dk, "Technical regulation 3.2.2 for PV power plants with a power output above 11 kW", Tech. Rep. Doc. 14/17997-39, 2015.
- [8] M. Haghghat, M. Niroomand, and H. D. Tafti, "An adaptive power ramp rate control method for photovoltaic systems", *IEEE Journal of Photovoltaics*, pp. 1-8, 2021.
- [9] S. Adhikari and F. Li, "Coordinated V-f and P-Q control of solar photovoltaic generators with MPPT and battery storage in microgrids", *IEEE Trans. Smart Grid*, Vol. 5, No. 3, pp. 1270-1281, May 2014.
- [10] A. Saez-de-Ibarra, A. Milo, H. Gaztanaga, V. Debusschere, and S. Bacha, "Co-optimization of storage system sizing and control strategy for intelligent photovoltaic power plants market integration", *IEEE Trans. Sustain. Energy*, Vol. 7, No. 4, pp. 1749-1761, 2016.
- [11] H. Dehghani Tafti, G. Konstantinou, C. D. Townsend, G. G. Farivar, A. Sangwongwanich, Y. Yang, J. Pou, and F. Blaabjerg, "Extended functionalities of photovoltaic systems with flexible power point tracking: Recent advances", *IEEE Trans. Power Electron.*, Vol. 35, pp. 9342-9356, 2020.
- [12] H. Dehghani Tafti, C. D. Townsend, G. Konstantinou, and J. Pou, "A multi-mode flexible power point tracking algorithm for photovoltaic power plants", *IEEE Trans. Power Electron.*, Vol. 34, No. 6, pp. 5038-5042, 2019.
- [13] H. Dehghani Tafti, A. I. Maswood, G. Konstantinou, J. Pou, and F. Blaabjerg, "A general constant power generation algorithm for photovoltaic systems", *IEEE Trans. Power Electron.*, Vol. 33, No. 5, pp. 4088-4101, 2018.
- [14] H. Dehghani Tafti, A. Sangwongwanich, Y. Yang, J. Pou, G. Konstantinou, and F. Blaabjerg, "An adaptive control scheme for flexible power point tracking in photovoltaic systems", *IEEE Trans. Power Electron.*, Vol. 34, pp. 5451-5463, Jun. 2019.
- [15] H. Dehghani Tafti, A. I. Maswood, G. Konstantinou, C. D. Townsend, P. Acuna, M. A. Atefat, F. Jahanbani Ardakani, "Maximum Power Point Tracking of Solar System Using Improved Flower Pollination Algorithm", *Computational Intelligence in Electrical Engineering*, Vol. 12, No. 1, pp. 49-60, 2021.
- [2] REN21, "Renewables 2020: Global status report (GRS)", 2020. [Online]. Available: <http://www.ren21.net/>.
- [3] Q. Bi, G. Zhou, and Q. Tian, "Improved Flexible Power Point Tracking Algorithm for PV System Under Fast-Changing Irradiance Conditions", *IEEE Trans. Power Electron.*, Vol. 38, No. 3, pp. 4061-4071, 2023.
- [4] L. Cristaldi, M. Faifer, C. Laurano, R. Ottoboni, E. Petkovski, and S. Toscani, "Power Generation Control Algorithm for the Participation of Photovoltaic Panels in Network Stability", *IEEE Transactions on Instrumentation and Measurement*, Vol. 72, Art no. 9000809, pp. 1-9, 2023.

- Topics in Power Electronics*, Vol. 10, No. 6, pp. 6891-6909, 2022.
- [17] Y. Yu, G. Konstantinou, B. Hredzak, and V. G. Agelidis, "Power balance optimization of cascaded H-bridge multilevel converters for largescale photovoltaic integration", *IEEE Trans. Power Electron.*, Vol. 31, pp. 1108-1120, 2016.
- [18] *IEEE Standard for Interconnecting Distributed Resources with Electric Power Systems*, IEEE Standard 1547, 2003.
- and J. Pou, "Flexible control of photovoltaic grid-connected cascaded H-bridge converters during unbalanced voltage sags", *IEEE Trans. Ind. Electron.*, Vol. 65, No. 8, pp. 6229-6238, 2018.
- [16] Y. Pan, A. Sangwongwanich, Y. Yang, X. Liu, M. Liserre and F. Blaabjerg, "Flexible Active Power Control of Distributed Photovoltaic Systems With Integrated Battery Using Series Converter Configurations", *IEEE Journal of Emerging and Selected*

¹ Photovoltaic

² Constant Power Generation

³ Maximum Power Point Tracking

⁴ Flexible Power Point Tracking

⁵ Multilevel Converter

⁶ Sub-modules

⁷ Cascaded H-Bridge

⁸ Feedforward

تولید توان ثابت در سیستم‌های فتوولتائیک مبتنی بر اینورتر تمام‌پل آبخاری براساس ردیابی نقطه توان انعطاف‌پذیر